

Dama Telemedicina
Marcelo Volpe

Pág. 49/1841

12:00:09 h:min:s
Olhos abertos

12:00:10 h:min:s
Olhos abertos

12:00:11 h:min:s
Olhos abertos

12:00:12 h:min:s
Olhos abertos

12:00:13 h:min:s
Olhos abertos

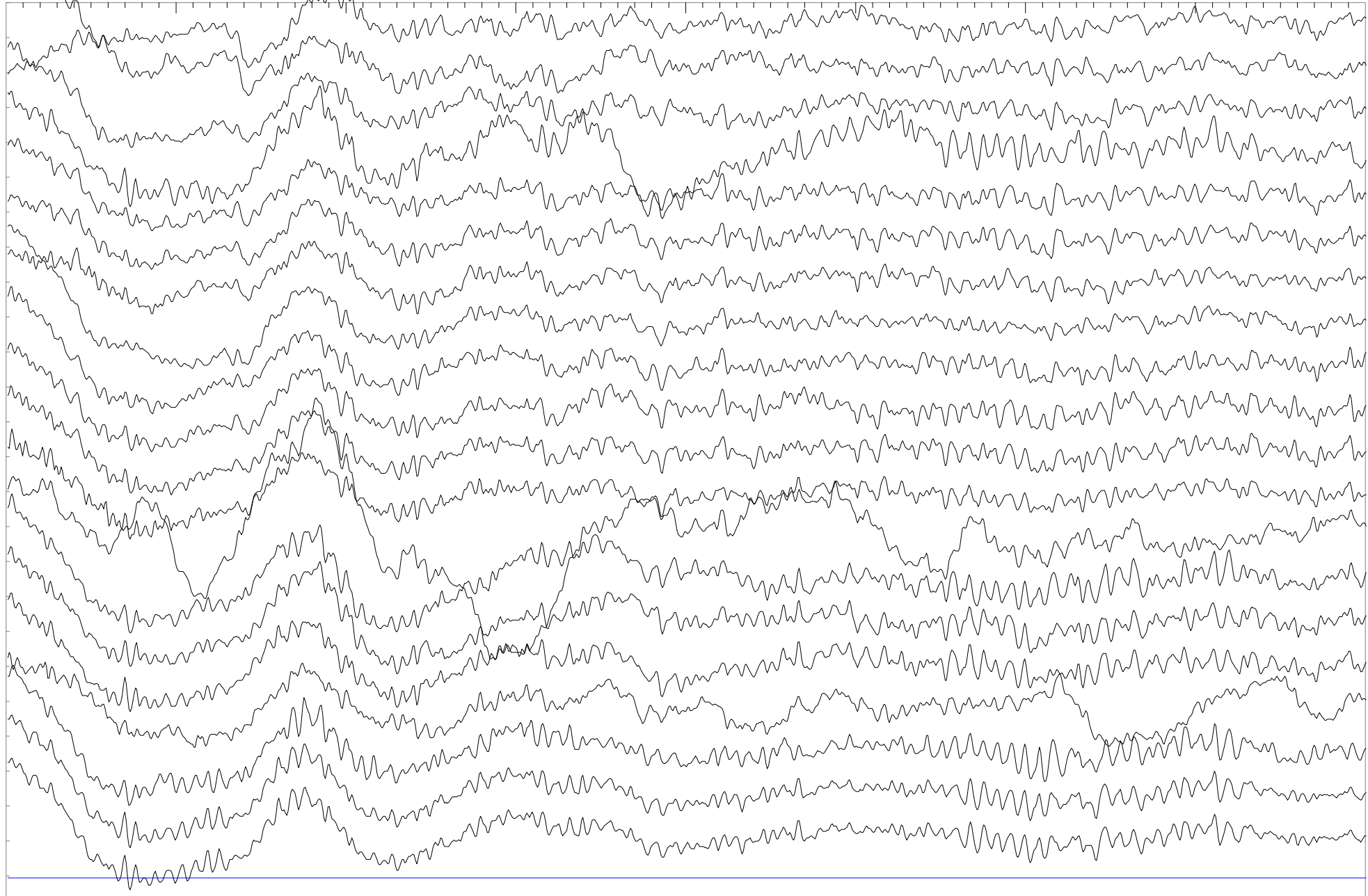
12:00:14 h:min:s
Olhos abertos

12:00:15 h:min:s
Olhos abertos

12:00:16 h:min:s
Vigília

Época: 2 - Horário: 12:00:10 - Estágio: 0 (8 seg.)

FP1
FP2
F7
F3
FZ
F4
F8
T3
C3
CZ
C4
T4
T5
P3
PZ
P4
T6
O1
OZ
O2



Foto

Dama Telemedicina
Marcelo Volpe

Pág. 97/1841

12:00:57 h:min:s
Vigília

12:00:58 h:min:s
Vigília

12:00:59 h:min:s
Vigília

12:01:00 h:min:s
Vigília

12:01:01 h:min:s
Vigília

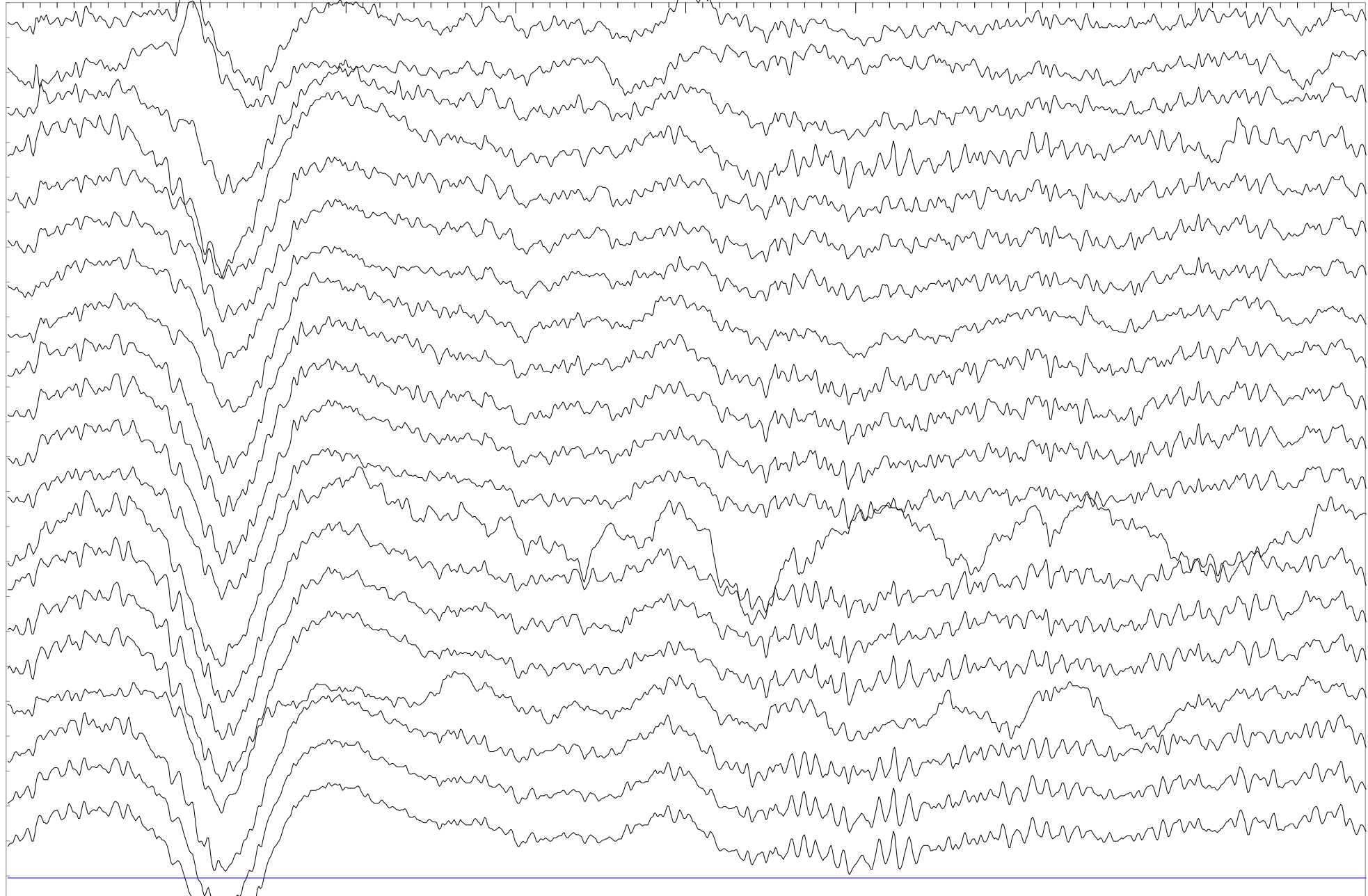
12:01:02 h:min:s
Vigília

12:01:03 h:min:s
Vigília

12:01:04 h:min:s
Vigília

Época: 4 - Horário: 12:00:58 - Estágio: 0 (8 seg.)

FP1
FP2
F7
F3
FZ
F4
F8
T3
C3
CZ
C4
T4
T5
P3
PZ
P4
T6
O1
OZ
O2



Foto

Dama Telemedicina
Marcelo Volpe

Pág. 201/1841

12:02:40 h:min:s
Vigília

12:02:41 h:min:s
Vigília

12:02:42 h:min:s
Vigília

12:02:43 h:min:s
Vigília

12:02:44 h:min:s
Vigília

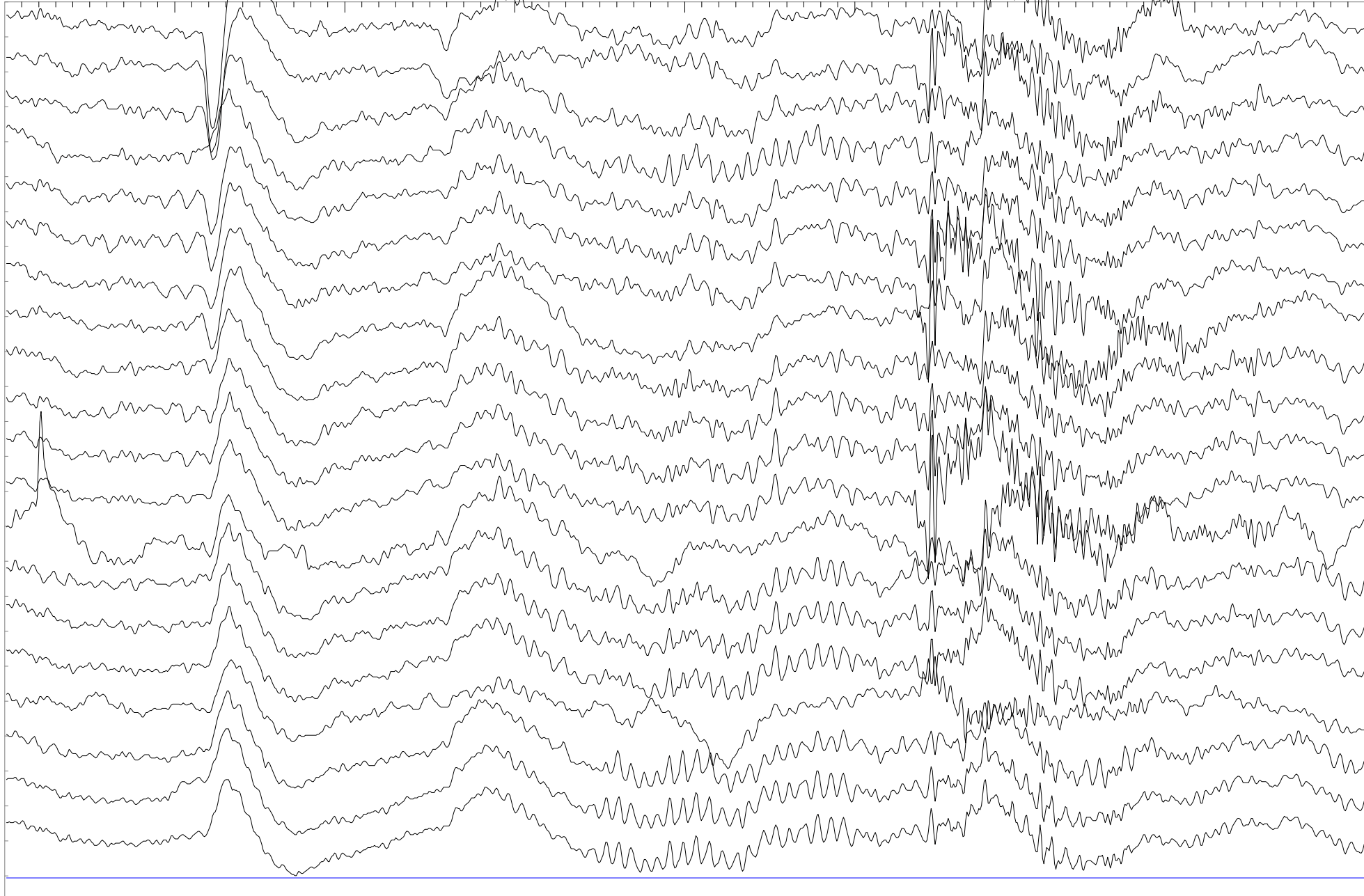
12:02:45 h:min:s
Vigília

12:02:46 h:min:s
Vigília

12:02:47 h:min:s
Vigília

Época: 7 - Horário: 12:02:41 - Estágio: 0 (8 seg.)

FP1
FP2
F7
F3
FZ
F4
F8
T3
C3
CZ
C4
T4
T5
P3
PZ
P4
T6
O1
OZ
O2



Foto

Dama Telemedicina
Marcelo Volpe

Pág. 417/1841

12:06:16 h:min:s
Hiperpnéia

12:06:17 h:min:s
Hiperpnéia

12:06:18 h:min:s
Hiperpnéia

12:06:19 h:min:s
Hiperpnéia

12:06:20 h:min:s
Hiperpnéia

12:06:21 h:min:s
Hiperpnéia

12:06:22 h:min:s
Hiperpnéia

12:06:23 h:min:s
Hiperpnéia

Época: 14 - Horário: 12:06:17 - Estágio: 0 (8 seg.)

FP1

FP2

F7

F3

FZ

F4

F8

T3

C3

CZ

C4

T4

T5

P3

PZ

P4

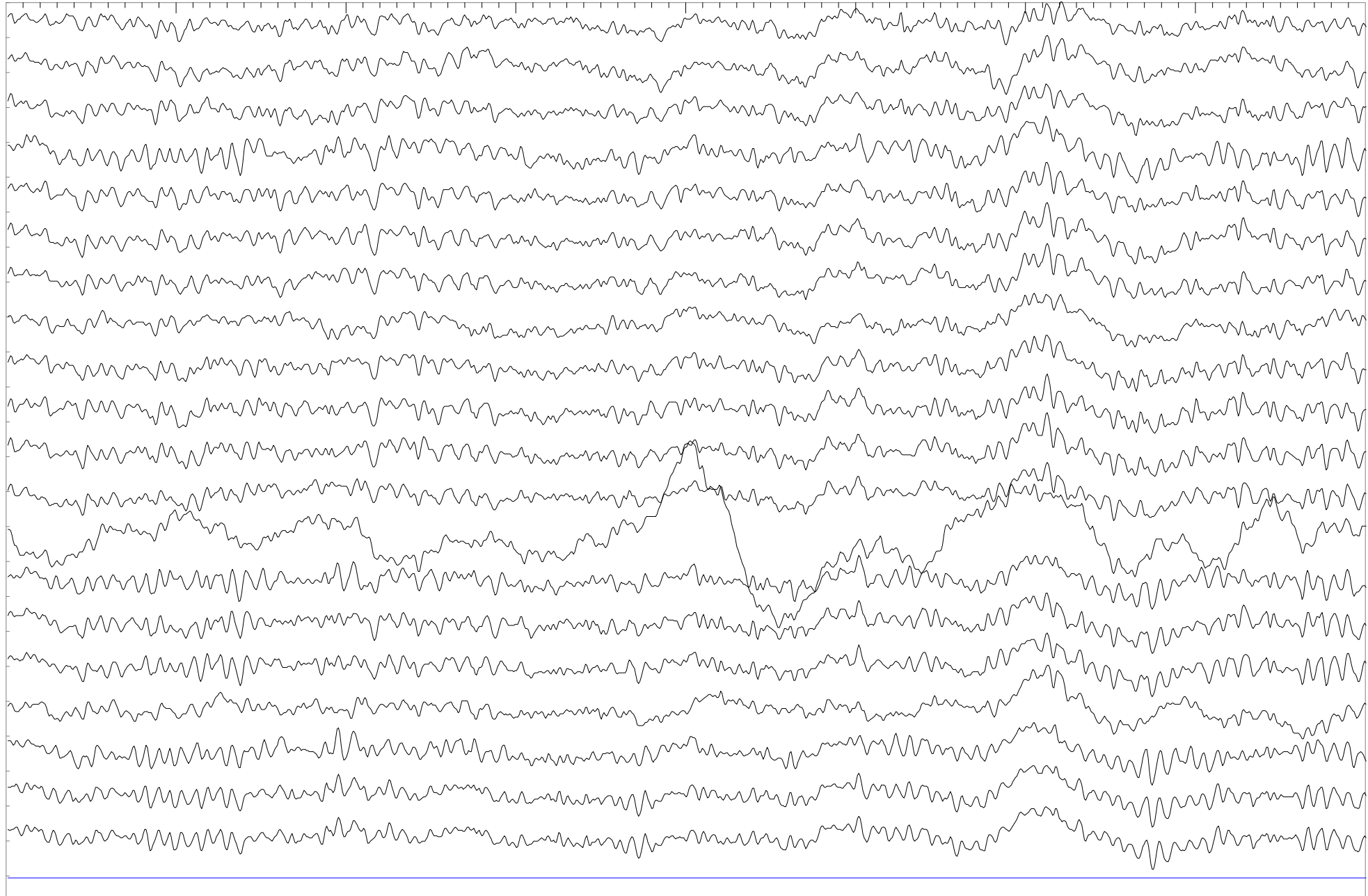
T6

O1

OZ

O2

Foto



Dama Telemedicina
Marcelo Volpe

Pág. 449/1841

12:06:48 h:min:s
Hiperpnéia

12:06:49 h:min:s
Hiperpnéia

12:06:50 h:min:s
Hiperpnéia

12:06:51 h:min:s
Hiperpnéia

12:06:52 h:min:s
Hiperpnéia

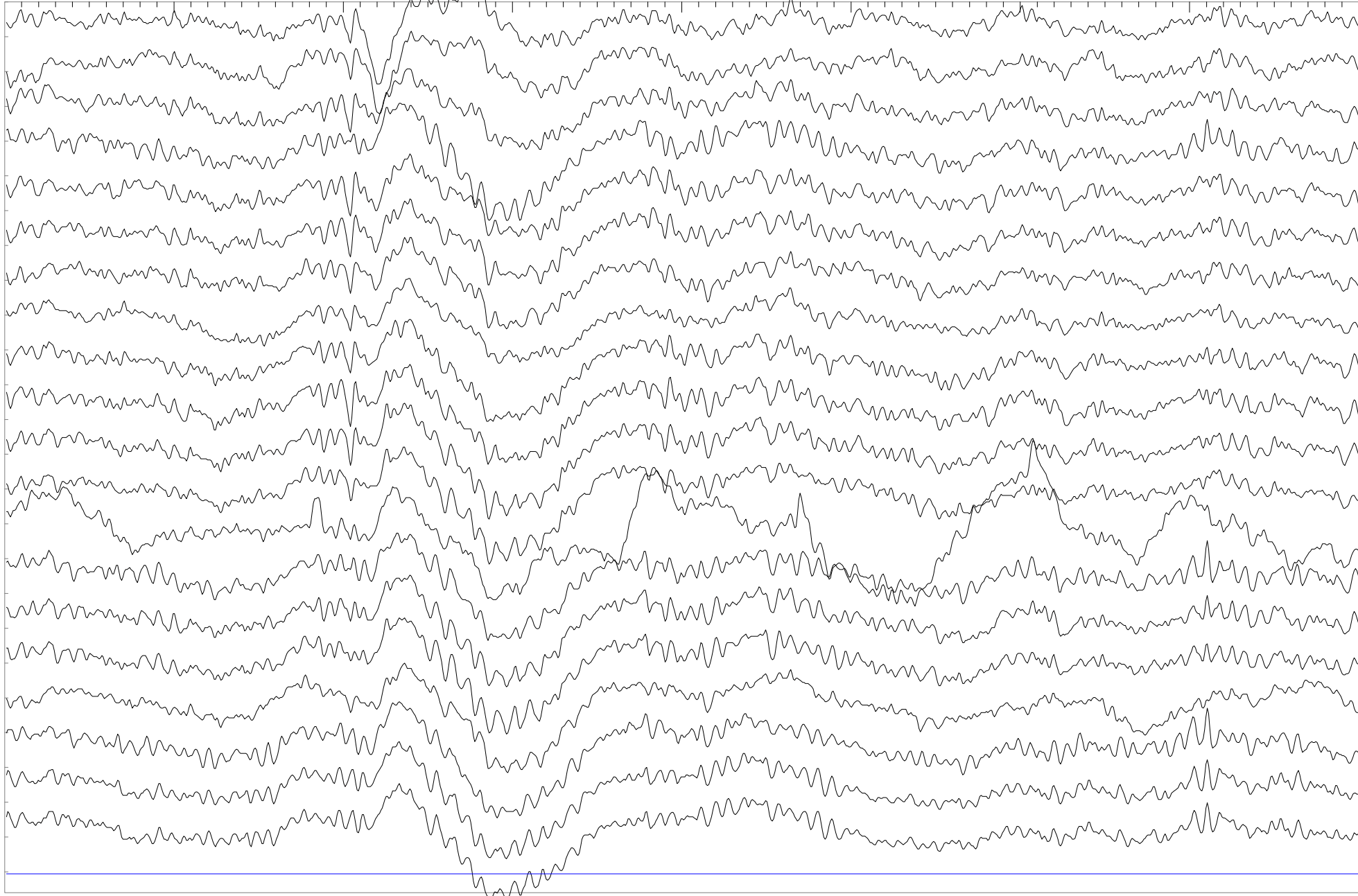
12:06:53 h:min:s
Hiperpnéia

12:06:54 h:min:s
Hiperpnéia

12:06:55 h:min:s
Hiperpnéia

Época: 15 - Horário: 12:06:49 - Estágio: 0 (8 seg.)

FP1
FP2
F7
F3
FZ
F4
F8
T3
C3
CZ
C4
T4
T5
P3
PZ
P4
T6
O1
OZ
O2



Foto

Dama Telemedicina
Marcelo Volpe

Pág. 521/1841

12:08:00 h:min:s

12:08:01 h:min:s

12:08:02 h:min:s

12:08:03 h:min:s

12:08:04 h:min:s

12:08:05 h:min:s

12:08:06 h:min:s

12:08:07 h:min:s

Pós hiperpnéia

Época: 18 - Horário: 12:08:01 - Estágio: 0 (8 seg.)

FP1

FP2

F7

F3

FZ

F4

F8

T3

C3

CZ

C4

T4

T5

P3

PZ

P4

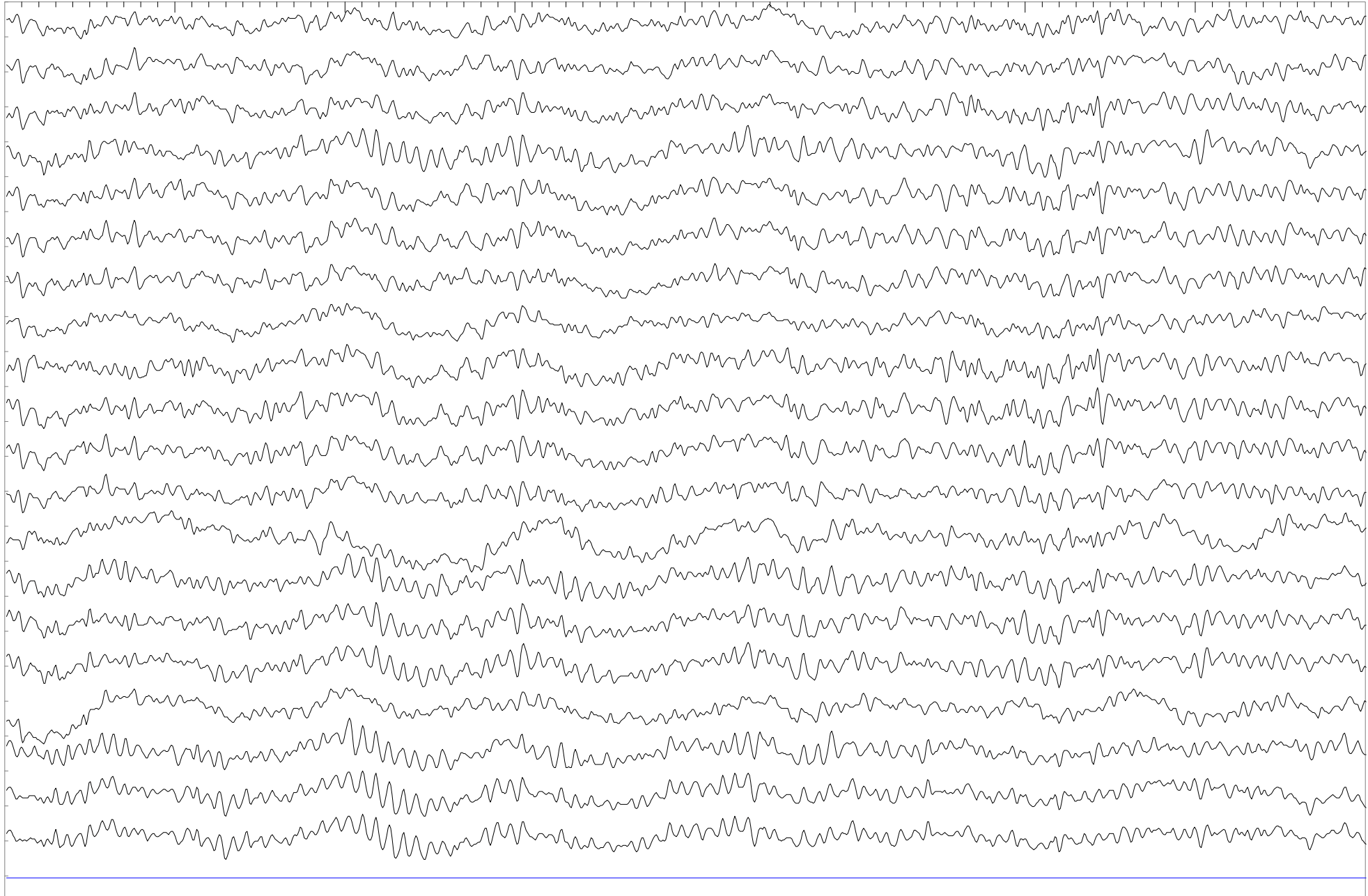
T6

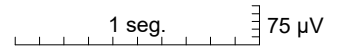
O1

OZ

O2

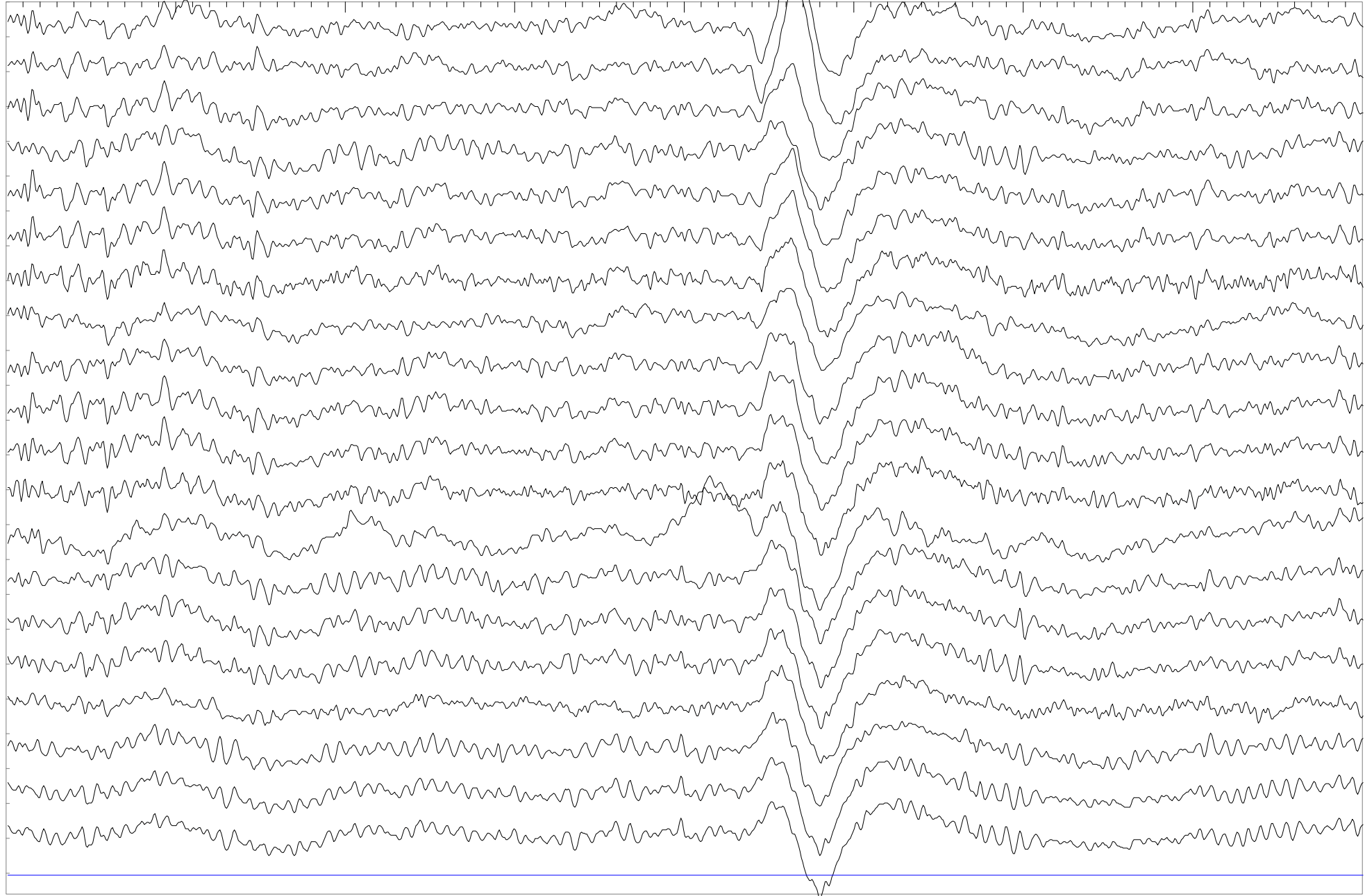
Foto





12:09:12 h:min:s Pós hiperpnéia 12:09:13 h:min:s Pós hiperpnéia 12:09:14 h:min:s Pós hiperpnéia 12:09:15 h:min:s Pós hiperpnéia 12:09:16 h:min:s Pós hiperpnéia 12:09:17 h:min:s Pós hiperpnéia 12:09:18 h:min:s Pós hiperpnéia 12:09:19 h:min:s Pós hiperpnéia
Época: 20 - Horário: 12:09:13 - Estágio: 0 (8 seg.)

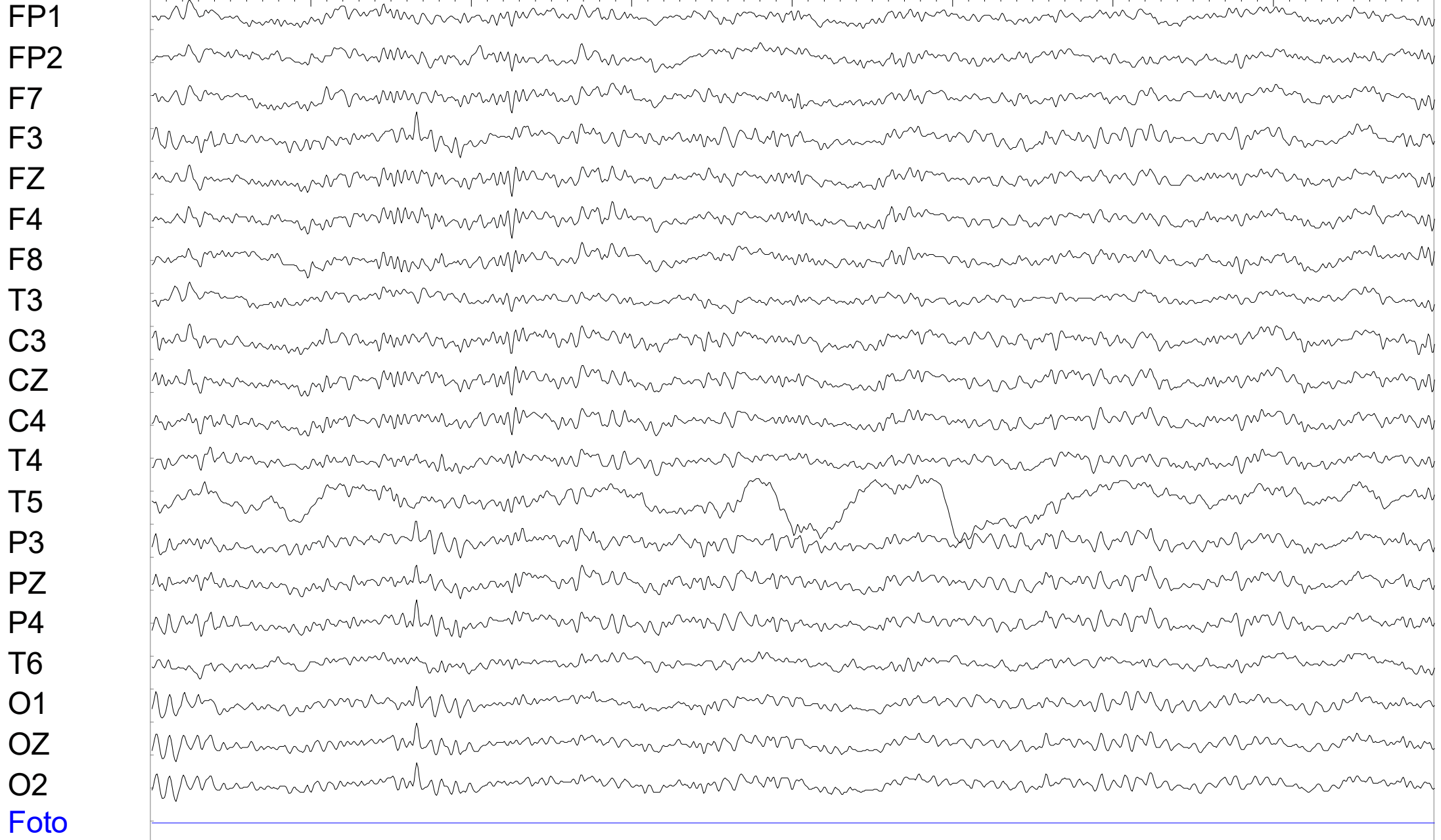
FP1
FP2
F7
F3
FZ
F4
F8
T3
C3
CZ
C4
T4
T5
P3
PZ
P4
T6
O1
OZ
O2



Dama Telemedicina
Marcelo Volpe

Pág. 1049/1841

12:16:48 h:min:s 12:16:49 h:min:s 12:16:50 h:min:s 12:16:51 h:min:s 12:16:52 h:min:s 12:16:53 h:min:s 12:16:54 h:min:s 12:16:55 h:min:s
Sono espontaneo Sono espontaneo
Época: 35 - Horário: 12:16:49 - Estágio: 0 (8 seg.)



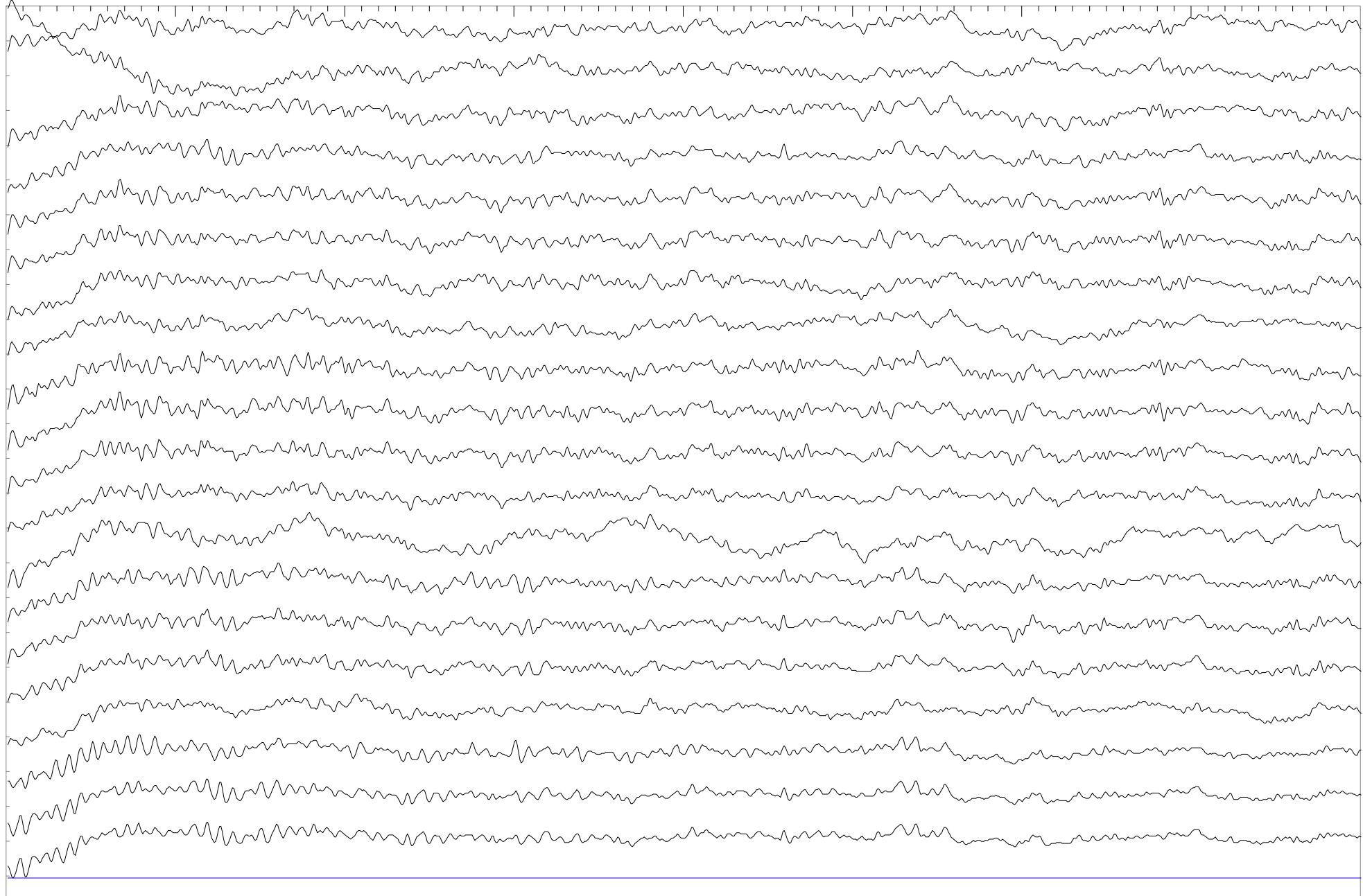
Dama Telemedicina
Marcelo Volpe

Pág. 1105/1841

12:17:43 h:min:s Sono espontaneo
12:17:45 h:min:s Sono espontaneo
12:17:45 h:min:s Sono espontaneo
12:17:47 h:min:s Sono espontaneo
12:17:47 h:min:s Sono espontaneo
12:17:49 h:min:s Sono espontaneo
12:17:49 h:min:s Sono espontaneo
12:17:50 h:min:s Sono espontaneo

Época: 37 - Horário: 12:17:45 - Estágio: 0 (8 seg.)

FP1
FP2
F7
F3
FZ
F4
F8
T3
C3
CZ
C4
T4
T5
P3
PZ
P4
T6
O1
OZ
O2



Foto

Dama Telemedicina
Marcelo Volpe

Pág. 1737/1841

12:28:15 h:min:s 12:28:16 h:min:s 12:28:17 h:min:s 12:28:18 h:min:s 12:28:19 h:min:s 12:28:20 h:min:s 12:28:21 h:min:s 12:28:22 h:min:s
Sono espontaneo Sono espontaneo
Época: 58 - Horário: 12:28:16 - Estágio: 0 (8 seg.)

FP1

FP2

F7

F3

FZ

F4

F8

T3

C3

CZ

C4

T4

T5

P3

PZ

P4

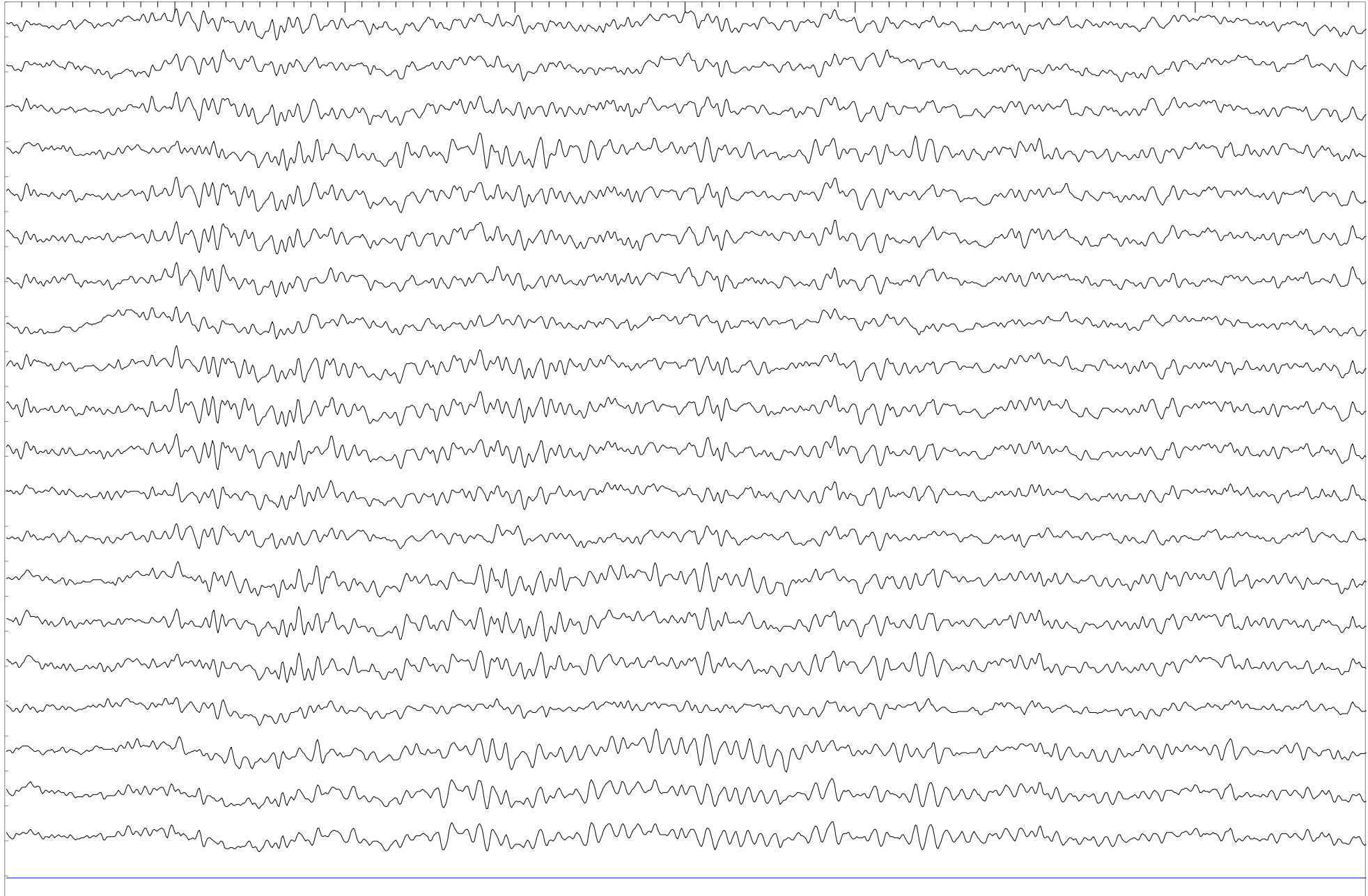
T6

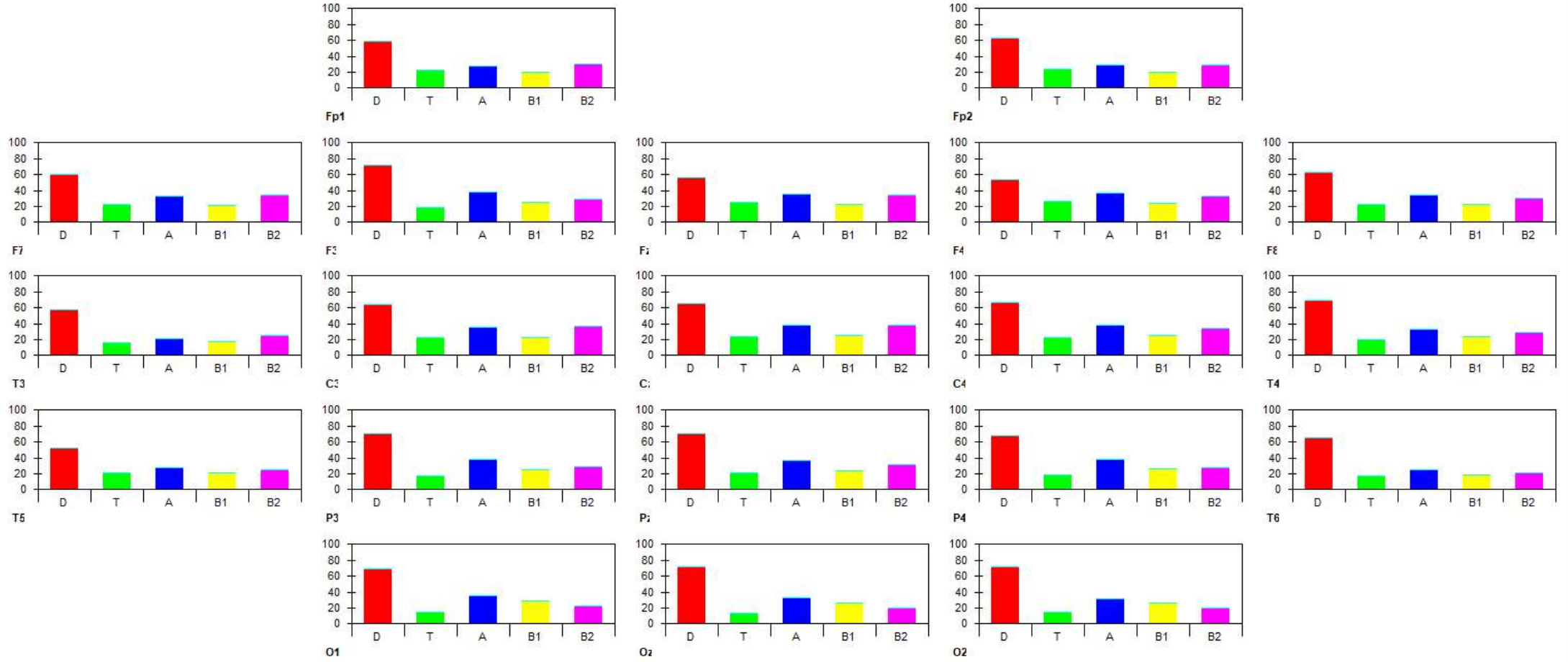
O1

OZ

O2

Foto





Fp1			
	F.Dom.	μV	μV %
D	1,0	59,4	37,4
T	4,5	22,3	14,0
A	8,0	27,3	17,2
B1	16,5	19,8	12,5
B2	19,0	30,1	18,9

Fp2			
	F.Dom.	μV	μV %
D	1,0	62,2	37,7
T	4,0	24,3	14,7
A	9,0	28,9	17,5
B1	17,0	20,4	12,4
B2	19,0	29,1	17,8

F7			
	F.Dom.	μV	μV %
D	,5	59,6	34,8
T	4,0	23,2	13,6
A	8,0	33,5	19,5
B1	17,0	21,5	12,5
B2	19,5	33,6	19,6

F3			
	F.Dom.	μV	μV %
D	,5	71,8	39,2
T	4,5	19,1	10,4
A	12,0	38,3	20,9
B1	13,0	25,3	13,8
B2	19,0	28,7	15,7

Fz			
	F.Dom.	μV	μV %
D	,5	56,2	32,2
T	4,0	25,3	14,5
A	8,0	35,8	20,5
B1	17,0	23,1	13,2
B2	19,0	34,3	19,7

F4			
	F.Dom.	μV	μV %
D	,5	54,1	31,0
T	6,5	26,7	15,3
A	8,0	36,7	21,0
B1	13,0	24,2	13,9
B2	19,0	32,8	18,8

F8			
	F.Dom.	μV	μV %
D	,5	62,3	36,3
T	6,5	22,4	13,1
A	12,0	33,9	19,8
B1	13,0	22,0	12,8
B2	19,0	30,8	18,0

T3			
	F.Dom.	μV	μV %
D	,5	57,8	41,9
T	6,5	15,9	11,5
A	8,0	21,2	15,3
B1	17,0	17,7	12,8
B2	19,5	25,4	18,4

C3			
	F.Dom.	μV	μV %
D	,5	63,9	35,3
T	4,0	22,2	12,3
A	8,0	35,7	19,8
B1	17,0	22,0	12,2
B2	19,0	37,1	20,5

Cz			
	F.Dom.	μV	μV %
D	,5	65,4	34,2
T	4,0	24,4	12,8
A	8,0	38,6	20,2
B1	17,0	25,0	13,1
B2	19,0	37,6	19,7

C4			
	F.Dom.	μV	μV %
D	,5	66,4	35,5
T	4,5	23,2	12,4
A	12,0	38,1	20,4
B1	13,0	25,3	13,5
B2	19,0	33,9	18,1

T4			
	F.Dom.	μV	μV %
D	,5	69,8	39,8
T	4,5	20,1	11,5
A	12,0	33,1	18,9
B1	13,5	23,4	13,4
B2	19,0	28,8	16,4

T5			
	F.Dom.	μV	μV %
D	,5	52,1	35,4
T	4,5	21,1	14,3
A	8,0	27,4	18,6
B1	17,0	20,9	14,2
B2	21,5	25,8	17,5

P3			
	F.Dom.	μV	μV %
D	,5	70,1	38,9
T	4,0	17,8	9,9
A	12,0	38,0	21,1
B1	13,0	24,5	13,6
B2	19,0	29,4	16,4

Pz			
	F.Dom.	μV	μV %
D	,5	70,1	38,0
T	4,0	21,5	11,7
A	12,0	37,2	20,2
B1	13,0	24,2	13,1
B2	19,0	31,4	17,0

P4			
	F.Dom.	μV	μV %
D	,5	68,2	38,0
T	4,0	19,0	10,6
A	12,0	38,0	21,2
B1	13,0	25,9	14,4
B2	19,0	28,1	15,7

T6			
	F.Dom.	μV	μV %
D	,5	65,6	44,0
T	5,0	18,0	12,1
A	12,0	25,3	17,0
B1	13,5	18,5	12,4
B2	19,0	21,8	14,6

O1			
	F.Dom.	μV	μV %
D	,5	68,7	40,2
T	6,0	14,4	8,4
A	12,0	35,7	20,9
B1	13,0	28,8	16,9
B2	21,5	23,2	13,6

Oz			
	F.Dom.	μV	μV %
D	,5	72,1	43,5
T	4,0	14,1	8,5
A	11,5	32,5	19,6
B1	13,0	26,7	16,1
B2	18,5	20,6	12,4

O2			
	F.Dom.	μV	μV %
D	,5	71,5	43,6
T	4,0	14,2	8,7
A	11,5	31,5	19,2
B1	13,0	26,3	16,0
B2	18,5	20,5	12,5

	Delta			Theta			Alfa			Beta 1			Beta 2		
	F.Dom.	µV	µV %												
FP1	1,0	59,4	37,4	4,5	22,3	14,0	8,0	27,3	17,2	16,5	19,8	12,5	19,0	30,1	18,9
FP2	1,0	62,2	37,7	4,0	24,3	14,7	9,0	28,9	17,5	17,0	20,4	12,4	19,0	29,1	17,6
F7	,5	59,6	34,8	4,0	23,2	13,5	8,0	33,5	19,5	17,0	21,5	12,5	19,5	33,6	19,6
F3	,5	71,8	39,2	4,5	19,1	10,4	12,0	38,3	20,9	13,0	25,3	13,8	19,0	28,7	15,7
FZ	,5	56,2	32,2	4,0	25,3	14,5	8,0	35,8	20,5	17,0	23,1	13,2	19,0	34,3	19,7
F4	,5	54,1	31,0	6,5	26,7	15,3	8,0	36,7	21,0	13,0	24,2	13,9	19,0	32,8	18,8
F8	,5	62,3	36,3	6,5	22,4	13,1	12,0	33,9	19,8	13,0	22,0	12,8	19,0	30,8	18,0
T3	,5	57,8	41,9	6,5	15,9	11,5	8,0	21,2	15,3	17,0	17,7	12,8	19,5	25,4	18,4
C3	,5	63,9	35,3	4,0	22,2	12,3	8,0	35,7	19,8	17,0	22,0	12,2	19,0	37,1	20,5
CZ	,5	65,4	34,2	4,0	24,4	12,8	8,0	38,6	20,2	17,0	25,0	13,1	19,0	37,6	19,7
C4	,5	66,4	35,5	4,5	23,2	12,4	12,0	38,1	20,4	13,0	25,3	13,5	19,0	33,9	18,1
T4	,5	69,8	39,8	4,5	20,1	11,5	12,0	33,1	18,9	13,5	23,4	13,4	19,0	28,8	16,4
T5	,5	52,1	35,4	4,5	21,1	14,3	8,0	27,4	18,6	17,0	20,9	14,2	21,5	25,8	17,5
P3	,5	70,1	38,9	4,0	17,8	9,9	12,0	38,0	21,1	13,0	24,5	13,6	19,0	29,4	16,4
PZ	,5	70,1	38,0	4,0	21,5	11,7	12,0	37,2	20,2	13,0	24,2	13,1	19,0	31,4	17,0
P4	,5	68,2	38,0	4,0	19,0	10,6	12,0	38,0	21,2	13,0	25,9	14,4	19,0	28,1	15,7
T6	,5	65,6	44,0	5,0	18,0	12,1	12,0	25,3	17,0	13,5	18,5	12,4	19,0	21,8	14,6
O1	,5	68,7	40,2	6,0	14,4	8,4	12,0	35,7	20,9	13,0	28,8	16,9	21,5	23,2	13,6
OZ	,5	72,1	43,5	4,0	14,1	8,5	11,5	32,5	19,6	13,0	26,7	16,1	18,5	20,6	12,4
O2	,5	71,5	43,6	4,0	14,2	8,7	11,5	31,5	19,2	13,0	26,3	16,0	18,5	20,5	12,5

	Delta			Theta			Alfa			Beta 1			Beta 2		
	F.Dom.	μV	μV %												
FP1	1,0	59,4	37,4	4,5	22,3	14,0	8,0	27,3	17,2	16,5	19,8	12,5	19,0	30,1	18,9
FP2	1,0	62,2	37,7	4,0	24,3	14,7	9,0	28,9	17,5	17,0	20,4	12,4	19,0	29,1	17,6
F7	,5	59,6	34,8	4,0	23,2	13,5	8,0	33,5	19,5	17,0	21,5	12,5	19,5	33,6	19,6
F3	,5	71,8	39,2	4,5	19,1	10,4	12,0	38,3	20,9	13,0	25,3	13,8	19,0	28,7	15,7
FZ	,5	56,2	32,2	4,0	25,3	14,5	8,0	35,8	20,5	17,0	23,1	13,2	19,0	34,3	19,7
F4	,5	54,1	31,0	6,5	26,7	15,3	8,0	36,7	21,0	13,0	24,2	13,9	19,0	32,8	18,8
F8	,5	62,3	36,3	6,5	22,4	13,1	12,0	33,9	19,8	13,0	22,0	12,8	19,0	30,8	18,0
T3	,5	57,8	41,9	6,5	15,9	11,5	8,0	21,2	15,3	17,0	17,7	12,8	19,5	25,4	18,4
C3	,5	63,9	35,3	4,0	22,2	12,3	8,0	35,7	19,8	17,0	22,0	12,2	19,0	37,1	20,5
CZ	,5	65,4	34,2	4,0	24,4	12,8	8,0	38,6	20,2	17,0	25,0	13,1	19,0	37,6	19,7
C4	,5	66,4	35,5	4,5	23,2	12,4	12,0	38,1	20,4	13,0	25,3	13,5	19,0	33,9	18,1
T4	,5	69,8	39,8	4,5	20,1	11,5	12,0	33,1	18,9	13,5	23,4	13,4	19,0	28,8	16,4
T5	,5	52,1	35,4	4,5	21,1	14,3	8,0	27,4	18,6	17,0	20,9	14,2	21,5	25,8	17,5
P3	,5	70,1	38,9	4,0	17,8	9,9	12,0	38,0	21,1	13,0	24,5	13,6	19,0	29,4	16,4
PZ	,5	70,1	38,0	4,0	21,5	11,7	12,0	37,2	20,2	13,0	24,2	13,1	19,0	31,4	17,0
P4	,5	68,2	38,0	4,0	19,0	10,6	12,0	38,0	21,2	13,0	25,9	14,4	19,0	28,1	15,7
T6	,5	65,6	44,0	5,0	18,0	12,1	12,0	25,3	17,0	13,5	18,5	12,4	19,0	21,8	14,6
O1	,5	68,7	40,2	6,0	14,4	8,4	12,0	35,7	20,9	13,0	28,8	16,9	21,5	23,2	13,6
OZ	,5	72,1	43,5	4,0	14,1	8,5	11,5	32,5	19,6	13,0	26,7	16,1	18,5	20,6	12,4
O2	,5	71,5	43,6	4,0	14,2	8,7	11,5	31,5	19,2	13,0	26,3	16,0	18,5	20,5	12,5

Relação de modos de gravação e eventos

<u>Época</u>	<u>Horário</u>	<u>Duração</u>	<u>Descrição</u>
1	11:59:20	00:55	Olhos abertos
2	12:00:16	03:06	Vigília
9	12:03:21	00:08	Olhos abertos
9	12:03:29	00:10	Olhos fechados
9	12:03:39	00:07	Olhos abertos
9	12:03:46	00:08	Olhos fechados
10	12:03:54	00:07	Olhos abertos
10	12:04:01	00:12	Olhos fechados
10	12:04:13	00:26	Vigília
11	12:04:39	02:43	Hiperpnéia
17	12:07:22	07:56	Pós hiperpnéia
32	12:15:18	01:21	Vigília
35	12:16:39	13:07	Sono espontaneo
61	12:29:45	00:15	Vigília